

Aplikace QM - 1. Elektronická struktura atomu

A1

připomínka: Atom vodíku

$$H = -\frac{\hbar^2}{2me} \Delta - \frac{e^2}{r} \quad e^2 = \frac{e_0^2}{4\pi\varepsilon_0} \quad (\text{SI})$$

$u=1, 2, 3, \dots$ $l=0, 1, \dots n-1$ $m=-l, -l+1, \dots l$

$$\text{energi} H \psi_{nlm} = E_n \psi_{nlm} \quad E_n = -\frac{1}{2} \frac{1}{n^2} \cdot \frac{e^4 m_e}{\hbar^2} \quad n = n_r + l + 1$$

$$\psi_{nlm} = R_{nl}(r) Y_{lm}(\theta, \varphi)$$

$$R_{nl} = N \cdot \left(\frac{2\pi}{na}\right)^l L_{nl}^{2l+1} \left(\frac{2r}{na}\right) e^{-\frac{r}{na}}$$

$$\text{Bohr } a = \frac{\hbar^2}{m_e e^2}$$

Atomové jednotky: $m = \bar{m} \cdot m_e$

$$\hbar = \bar{\hbar} \cdot a$$

$$E = \bar{E} \cdot \frac{e^4 m_e}{\hbar^2} = \bar{E} \cdot E_h$$

$$\text{Hartree } E_h = \frac{m_e e^4}{\hbar^2} = \frac{e^2}{a} = \alpha^2 m_e c^2$$

$$\lambda = \frac{e^2}{\hbar c} = \frac{1}{137} \text{ - jernašská konstanta}$$

$$H = -\frac{1}{2} \Delta^2 - \frac{1}{r} \quad E_n = -\frac{1}{2} \cdot \frac{1}{n^2}$$

$$\text{a např. radiační S.R.: } R = \frac{1}{n} \chi(r) :$$

$$\left(\frac{d^2}{dr^2} - 2V(r) - \frac{l(l+1)}{r^2} + 2E \right) \chi(r) = 0$$

Hartree - Fockova metoda středního pole

\rightarrow variační princip pro reál. funkci Boaura $\psi(\vec{r}_1, \dots, \vec{r}_N) = A \phi_1(\vec{r}_1) \dots \phi_N(\vec{r}_N)$

$$\text{pro Atom: } H = \sum_i \left(-\frac{1}{2} \Delta_i^2 - \frac{Z}{r_i} \right) + \sum_{i < j} \frac{1}{r_{ij}}$$

$$\rightarrow \text{H-F. rovnice} \quad \left[-\frac{1}{2} \Delta^2 + V(\vec{r}) \right] \phi_i = \epsilon_i \phi_i + W_{ex} [\phi_i]$$

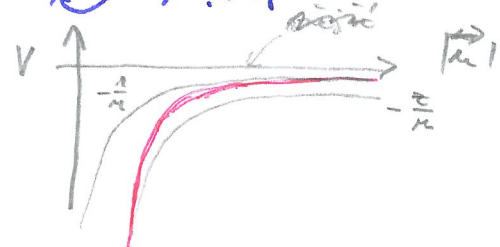
$$\text{problem: sfér. symetrie} \quad [H, L] = [H, S] = [H, J] = 0$$

↑
cell. obr. moment
↑
cell. spin ↑ cell. magnet. hybnost

$$\text{ale } L = \sum_i L_i \quad \text{a } [H, L_i] \neq 0$$

- nejúplňejší současné metody = kombinace použití úprav (dobrá o. aproximace) a variačního sappětování pomocí.
- přiblížený centrálního pole \rightarrow jen rotace, valence se vztahuje jinak:
 - o H-F mimořadné Coulomb. a výměnný člen jejich srovnání vlastností (navíc relativistickým \rightarrow koh. approx.) mají Taylor

$$\rightarrow H \rightarrow H_c = \sum_i \left(-\frac{1}{2} \Delta_i + V_c(r) \right)$$



jaký očekávaný centrální potenciál? $V_c(r)$:

...nejží el. vidí $-\frac{1}{r}$ vnitřku $-\frac{Z}{r}$

$$\rightarrow \text{řešení: } \phi_{\vec{k}}(\vec{r}) = P_l^m(r) Y_{lm}(\theta, \varphi) \chi_{\text{spin}}$$

[A2]

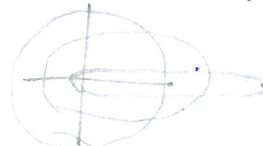
... dle $P_l^m(r)$ lze číslovat rotační vlny m_l a def. $n = n_l + l + 1$

$$\dots \text{pokud } |\phi\rangle \equiv |n_l m_l m_s\rangle \equiv |l\rangle \quad l \equiv (n_l m_l m_s)$$

\rightarrow symetrická/nedekorativní degenerace $\rightarrow E_l = E_{nl}$

paraticí bladim? očlovávání ... vyšší l ... vyšší bladina ... $\frac{l(l+1)}{n^2}$ člen, zlepšuje odporu

\hookrightarrow klasický náhled: Kepler orbit se stejnou E, různ l:



... vyšší l jsou díle
daleko od centra

Empirické pravidlo obrazování bladin:
(aufbau principle)

~~1s~~
~~2s 2p~~
~~3s 3p 3d~~
~~4s 4p 4d 4f~~
~~5s 5p 5d 5f 5g~~

... v. fce ... antisymetrickou formu
pravnické obrazeny (Slater determinant)

$$\Psi = \frac{1}{N!} \begin{vmatrix} \Phi_{d_1}(q_1) & \Phi_{d_2}(q_1) & \dots & \Phi_{d_N}(q_1) \\ \Phi_{d_1}(q_2) & & & \\ \vdots & & & \\ \Phi_{d_1}(q_N) & \dots & \Phi_{d_N}(q_N) \end{vmatrix}$$

$$q_i = (\vec{r}_i, m_{si})$$

Značení: Paschenova symbolika počítající elektronu ve slupce

např. uhlík C: $1s^2 2s^2 2p^2$ nebo $[\text{He}]2s^2 2p^2$
(6 elektronů)

elektrony se stejným m_l (tj. se $m_s \dots 2(2l+1)$ sloví) \rightarrow "ekvivalentní elektrony" \equiv slupka \uparrow zahrnuje $2(2l+1)$ el.

\Rightarrow elektronová konfigurace \rightarrow periodická sestava prvků

H	1s
Li	2s ¹
B	2s ²
Na	3s ¹
Mg	3s ²
Ar	4s ¹ 3d ¹ 4s ²
K	4s ²
Ca	4s ²
Rb	5s ¹
Sr	5s ²
Cs	6s ¹
Rb	6s ² 4f ¹
F	6s ² 4f ²
Rb	6s ² 4f ² 5d ¹

He	1s ²
B	2p ¹
C	2p ²
N	2p ³
O	2p ⁴
F	2p ⁵
Ne	2p ⁶
Al	3p ¹
Si	3p ²
P	3p ³
S	3p ⁴
Cl	3p ⁵
Ar	3p ⁶
Ca	4s ¹
In	4p ¹
Sn	4p ²
Sb	4p ³
Tc	4p ⁴
I	4p ⁵
Xe	4p ⁶
Kr	5p ¹
Rb	5p ²
Sr	5p ³
Cs	5p ⁴
Rb	5p ⁵
F	5p ⁶
Pb	6p ¹
Bi	6p ²
Te	6p ³
Po	6p ⁴
At	6p ⁵
Rn	6p ⁶

To bylo empiricky → mapu k se dá využít spektroskopických a mísitelností sladků v H₂ - vali

[A3)

Výsledek: sestavte atom ... uvedené konfiguraci

PR: C: $1s^2 2s^2 2p^2$... ~~zpravidla~~ $L = (m_l m_m m_s)$

... 15-míselná degenerace: $d_1 = (100 \frac{1}{2})$ $d_2 = (100 -\frac{1}{2})$

↳ některá (m_l, m_s) ... 3 možnosti $\times_{(m_s, m_s)} 4$ $d_3 = (200 \frac{1}{2})$ $d_4 = (200 -\frac{1}{2})$

nebo $(m_l = m_s)$... 3 možnosti ... spin singlet

$$3 \times 4 + 3 = 15$$

konkrétní stav se dá určit pomocí sestavy veličin L, S

spektroskopického označení $L = 0, 1, 2, 3, 4, \dots$ je to multiplicita $(2S+1)$
 $S P D F G$

např. $L=0, S=1 \dots ^3S$

$L=1, S=0 \dots ^0P$ atd.

V následujících:

$\psi(1s^2 2s^2 2p^2, ^1S)$ $L=0 M_L=0 S=0 M_S=0$ 1. stav

$\psi(1s^2 2s^2 2p^2, ^3P)$ $L=1 M_L=-1,0,1 S=1 M_S=-1,0,1$ 3 stavů
 (stejná energie)

$\psi(1s^2 2s^2 2p^2, ^1D)$ $L=2 M_L=-2,-1,0,1,2 S=0 M_S=0$ 5 stavů

15. degenerace

→ použili jsme předp. centrálního pole a symetrie systému

ψ = slater. determinant např. pro 1S : 

~~symetrie~~ \rightarrow ~~symetrie~~

$\psi(1s^2 2s^2 2p^2, ^1S) = A R_{1s}(\vec{r}_1) R_{1s}(\vec{r}_2) (|1\uparrow\rangle - |1\downarrow\rangle)_{12} Y_{00}(\hat{r}_1) Y_{00}(\hat{r}_2)$

$R_{2s}(\vec{r}_3) R_{2s}(\vec{r}_4) (|1\uparrow\rangle - |1\downarrow\rangle)_{34} Y_{00}(\hat{r}_3) Y_{00}(\hat{r}_4)$

$\otimes R_{2p}(\vec{r}_5) R_{2p}(\vec{r}_6) \sum_{mm} (11mm, 00) Y_{1m}(\hat{r}_5) Y_{1m}(\hat{r}_6)$
 $(|1\uparrow\rangle - |1\downarrow\rangle)_{56}$

+ variacionní princip $R_x \rightarrow R_x + \delta R_x$

⇒ HF rovnice (spec. forma s jichováním lib. částí a spin. čási)

→ našem optimální fung $R_x(n)$ a našem ϵ_L

ukáže se který stav je nejlepší.. danou konfigurací má jeho HF energii

obecně je potvrzen empirické pravidlo absorcování konfigurací, ale jen užívajíc (težší prvky)

[A4]

např.: Chrom: $[Ar]4s^13d^5$ je méně než $4s^23d^4$

Cerium: $[Xe]6s^24f^15d^1$ je méně než $6s^24f^2$

Uran: $[Rn]7s^25f^36d^1$ je méně než $7s^25f^4$

Stále jen nejlepší energie (ve smyslu var. principu)
na pravém dnu konfigurace - HF energie

ne vždy dobré PR: $H^- : 1s^2$ má energii výš než $H 1s^1$
t; není vše sloven.
→ soupor s experimentem

úplné mísení: mají být vše

• CI ... konfigurační interakce.

rozklad $\Psi = \sum_c p_c \Psi_c$... hodně konfigurací c
+ koeficienty p_c určit generální variacionní princip
→ můžete Hylleraas-undheim ... i excitované stav

• MCHF ... multi konfigurační HF $\Psi = \sum_c p_c \Psi_c$... málo konfigurací,
ale jalo variacionní parametry složení p_c i radialem části $R_s(r)$

- Charlotte Froese Fischer a kol: Computational Atomic Structure
... program volně k dispozici

? debeit povětší komplikace

PR: Atom He 3P stav .. konfig. (základ!) $2s^22p^1 \dots \eta = 0.992$
 $3s 3p \dots -0.055$
 $2p 3d \dots -0.1143$

Aaaaaattag ND stav

He $1s^2 1s$.. zákl. stav $1s^2 \dots -2.862$
+ $1s 2s \dots -2.897$
+ $1s 3s \dots$
+ $2s 3s \dots -2.902$
+
pid stavy do 4 -2.903

téží problém ... může se stát, že dvě konfig. přinášejí shodnou signifikaci

TURN THIS PAGE SIDEWAYS TO SEE THE PERIODIC TABLE AS IT IS USUALLY DISPLAYED. THE d-LOOPS ARE FLATTENED OUT TO SHOW EVERY ELEMENT. THE 14-ELEMENT f-LOOP, AFTER #57, LANTHANUM, IS CUT OUT AND PUT BELOW THE MAIN TABLE. THE TABLE'S "TAIL," THE ACTINIDE SERIES AFTER #90, IS ALSO AT THE BOTTOM.

2	H	100
3	H	101
4	He	94.07
5	Li	6.94
6	B	8.00
7	C	10.01
8	N	10.81
9	O	16.00
10	F	19.00
11	Na	22.99
12	Mg	24.31
13	Al	26.98
14	Mg	28.09
15	Si	30.97
16	P	31.97
17	S	32.07
18	Ar	35.45
19	K	39.07
20	Ca	40.00
21	Sc	44.96
22	Ti	47.88
23	V	50.94
24	Cr	52.00
25	Mn	54.94
26	Fe	55.85
27	Co	58.93
28	Ni	58.97
29	Zn	63.55
30	Cu	65.93
31	Ga	66.0
32	In	69.72
33	As	72.39
34	Se	73.92
35	Br	74.96
36	Kr	78.96
37	Rb	87.62
38	Sr	88.91
39	V	91.22
40	Y	91.98
41	La	92.91
42	Lu	92.91
43	Ta	95.94
44	W	98.93
45	Pd	101.1
46	Pt	102.9
47	Pt	106.4
48	Ir	107.9
49	Pt	112.4
50	Pt	114.8
51	Os	116.4
52	Os	118.7
53	Os	121.8
54	Os	124.9
55	Os	127.6
56	Os	129.6
57	Os	132.9
58	Os	137.3
59	Os	137.3
60	Os	140.9
61	Os	140.9
62	Os	140.9
63	Os	140.9
64	Os	140.9
65	Os	140.9
66	Os	140.9
67	Os	140.9
68	Os	140.9
69	Os	140.9
70	Os	140.9
71	Os	140.9
72	Os	140.9
73	Os	140.9
74	Os	140.9
75	Os	140.9
76	Os	140.9
77	Os	140.9
78	Os	140.9
79	Os	140.9
80	Os	140.9
81	Os	140.9
82	Os	140.9
83	Os	140.9
84	Os	140.9
85	Os	140.9
86	Os	140.9
87	Os	140.9
88	Os	140.9
89	Os	140.9
90	Os	140.9
91	Pa	140.9
92	Pa	140.9
93	Pa	140.9
94	Pa	140.9
95	Pa	140.9
96	Pa	140.9
97	Pa	140.9
98	Pa	140.9
99	Pa	140.9
100	Pa	140.9
101	Pa	140.9
102	Pa	140.9
103	Pa	140.9
104	Pa	140.9
105	Pa	140.9
106	Pa	140.9
107	Pa	140.9
108	Pa	140.9
109	Pa	140.9
110	Pa	140.9
111	Pa	140.9
112	Pa	140.9
113	Pa	140.9
114	Pa	140.9
115	Pa	140.9
116	Pa	140.9
117	Pa	140.9
118	Pa	140.9
119	Pa	140.9
120	Pa	140.9
121	Pa	140.9
122	Pa	140.9
123	Pa	140.9
124	Pa	140.9
125	Pa	140.9
126	Pa	140.9
127	Pa	140.9
128	Pa	140.9
129	Pa	140.9
130	Pa	140.9
131	Pa	140.9
132	Pa	140.9
133	Pa	140.9
134	Pa	140.9
135	Pa	140.9
136	Pa	140.9
137	Pa	140.9
138	Pa	140.9
139	Pa	140.9
140	Pa	140.9
141	Pa	140.9
142	Pa	140.9
143	Pa	140.9
144	Pa	140.9
145	Pa	140.9
146	Pa	140.9
147	Pa	140.9
148	Pa	140.9
149	Pa	140.9
150	Pa	140.9
151	Pa	140.9
152	Pa	140.9
153	Pa	140.9
154	Pa	140.9
155	Pa	140.9
156	Pa	140.9
157	Pa	140.9
158	Pa	140.9
159	Pa	140.9
160	Pa	140.9
161	Pa	140.9
162	Pa	140.9
163	Pa	140.9
164	Pa	140.9
165	Pa	140.9
166	Pa	140.9
167	Pa	140.9
168	Pa	140.9
169	Pa	140.9
170	Pa	140.9
171	Pa	140.9
172	Pa	140.9
173	Pa	140.9
174	Pa	140.9
175	Pa	140.9
176	Pa	140.9
177	Pa	140.9
178	Pa	140.9
179	Pa	140.9
180	Pa	140.9
181	Pa	140.9
182	Pa	140.9
183	Pa	140.9
184	Pa	140.9
185	Pa	140.9
186	Pa	140.9
187	Pa	140.9
188	Pa	140.9
189	Pa	140.9
190	Pa	140.9
191	Pa	140.9
192	Pa	140.9
193	Pa	140.9
194	Pa	140.9
195	Pa	140.9
196	Pa	140.9
197	Pa	140.9
198	Pa	140.9
199	Pa	140.9
200	Pa	140.9
201	Pa	140.9
202	Pa	140.9
203	Pa	140.9
204	Pa	140.9
205	Pa	140.9
206	Pa	140.9
207	Pa	140.9
208	Pa	140.9
209	Pa	140.9
210	Pa	140.9
211	Pa	140.9
212	Pa	140.9
213	Pa	140.9
214	Pa	140.9
215	Pa	140.9
216	Pa	140.9
217	Pa	140.9
218	Pa	140.9
219	Pa	140.9
220	Pa	140.9
221	Pa	140.9
222	Pa	140.9
223	Pa	140.9
224	Pa	140.9
225	Pa	140.9
226	Pa	140.9
227	Pa	140.9
228	Pa	140.9
229	Pa	140.9
230	Pa	140.9
231	Pa	140.9
232	Pa	140.9
233	Pa	140.9
234	Pa	140.9
235	Pa	140.9
236	Pa	140.9
237	Pa	140.9
238	Pa	140.9
239	Pa	140.9
240	Pa	140.9
241	Pa	140.9
242	Pa	140.9
243	Pa	140.9
244	Pa	140.9
245	Pa	140.9
246	Pa	140.9
247	Pa	140.9
248	Pa	140.9
249	Pa	140.9
250	Pa	140.9
251	Pa	140.9
252	Pa	140.9
253	Pa	140.9
254	Pa	140.9
255	Pa	140.9
256	Pa	140.9
257	Pa	140.9
258	Pa	140.9
259	Pa	140.9
260	Pa	140.9
261	Pa	140.9
262	Pa	140.9
263	Pa	140.9
264	Pa	140.9
265	Pa	140.9
266	Pa	140.9
267	Pa	140.9
268	Pa	140.9
269	Pa	140.9
270	Pa	140.9
271	Pa	140.9
272	Pa	140.9
273	Pa	140.9
274	Pa	140.9
275	Pa	140.9
276	Pa	140.9
277	Pa	140.9
278	Pa	140.9
279	Pa	140.9
280	Pa	140.9
281	Pa	140.9
282	Pa	140.9
283	Pa	140.9
284	Pa	140.9
285	Pa	140.9
286	Pa	140.9
287	Pa	140.9
288	Pa	140.9
289	Pa	140.9
290	Pa	140.9
291	Pa	140.9
292	Pa	140.9
293	Pa	140.9
294	Pa	140.9
295	Pa	140.9
296	Pa	140.9
297	Pa	140.9
298	Pa	140.9
299	Pa	140.9
300	Pa	140.9
301	Pa	140.9
302	Pa	140.9
303	Pa	140.9
304	Pa	140.9
305	Pa	140.9
306	Pa	140.9
307	Pa	140.9
308	Pa	140.9
309	Pa	140.9
310	Pa	140.9
311	Pa	140.9
312	Pa	140.9
313	Pa	140.9
314	Pa	140.9
315	Pa	140.9
316	Pa	140.9
317	Pa	140.9
318	Pa	140.9
319	Pa	140.9
320	Pa	140.9
321	Pa	140.9
322	Pa	140.9
323	Pa	140.9
324	Pa	140.9
325	Pa	140.9
326	Pa	140.9
327	Pa	140.9
328	Pa	140.9
329	Pa	140.9
330	Pa	140.9
331	Pa	140.9
332	Pa	140.9
333	Pa	140.9
334	Pa	140.9
335	Pa	140.9
336	Pa	140.9
337	Pa	140.9
338	Pa	140.9
339	Pa	140.9
340	Pa	140.9
341	Pa	140.9
342	Pa	140.9
343	Pa	140.9
344	Pa	140.9
345	Pa	140.9
346	Pa	140.9
347	Pa	140.9
348	Pa	140.9
349	Pa	140.9
350	Pa	140.9
351	Pa	140.9
352	Pa	140.9
353	Pa	140.9
354	Pa	140.9
355	Pa	140.9
356	Pa	140.9
357	Pa	140.9
358	Pa	140.9
359	Pa	140.9
360	Pa	140.9
361	Pa	140.9
362	Pa	140.9
363	Pa	140.9
364	Pa	140.9
365	Pa	140.9
366	Pa	140.9
367	Pa	140.9
368	Pa	140.9
369	Pa	140.9
370	Pa	140.9
371	Pa	140.9
372	Pa	140.9
373	Pa	140.9
374	Pa	140.9
375	Pa	140.9
376	Pa	140.9
377	Pa	140.9
378	Pa	140.9
379	Pa	140.9
380	Pa	140.9
381	Pa	140.9
382	Pa	140.9
383	Pa	140.9
384	Pa	140.9
385	Pa	140.9
386	Pa	140.9
387	Pa	140.9
388	Pa	140.9
389	Pa	140.9
390	Pa	140.9
391		

Aplikace QM - 2. struktura molekul

[M1]

1. Aproximace Bornova - Oppenhei me rov

Molekula → jádra atomů: polohy $\{\vec{R}_i\}$ málo je $\{z_i\}_{i=1}^N$
 hmotnosti $\{M_i\}$

\rightarrow elektromágneses polárok $\{x_i\}_{i=1}^n$ náhaj 1 metszeti 1 (a.u.)

typicky $M_i \gg m_e$ napi. pravd. ≈ 2000 elektronů
 energie jsou růmolekule sdíleny řádově rovnoměřně
 \Rightarrow elektrony mohou rychleji

podstata • B-O aproximace: separace časových škal

- nejdůležitější jsou polohy elektronů s fixními jádry
→ výsledek: elektronové interakce nesí jádry
s prostředkem na elektrony
 - potom nejdůležitější vibrace (= jádernou) dynamiku

- poten veline vibrace (= jednorazové) dynamické
T slang. nezamena vlivem st. velikosti

$$\text{Podrobněji: } H = T_N + H_{\text{el}} \quad \leftarrow \text{a.u.}$$

$$\text{kinet. energ. jeder } T_N = \sum_i -\frac{\hbar^2}{2M_i} \Delta_{Ri}^2$$

$$\text{elektron. inter. HeI } \langle R_i^3 \rangle = \sum_n \left(-\frac{1}{2} \Delta_{nm}^i \right) \text{kinet. e} + \sum_{ni} -\frac{z_i}{|R_i - r_m|} + \sum_{n \neq m} \frac{1}{|r_m - r_n|} + \sum_{i \neq n} \frac{z_i R_i}{|R_i - R_n|}$$

↑ ↑ ↑ ↑
 kinet. e přítom. e-N colpové e-e oddpolení
 N-N

- Řešíme problém s fix. $\{\vec{R}_i\}$: "adiabatické stav"
 Hl. $|\phi_\alpha\rangle = E_\alpha |\phi_\alpha\rangle$... polohy jader $\{\vec{R}_i\}$; ron parametr.
 vše řešíme v Hl. $E_\alpha |\phi_\alpha\rangle$ závisí na parametrech $\{\vec{R}_i\}$... $3N$ dimen.
 dále se omezíme na dvouatomové molekuly. Tento problém
 závisí jen na vzdálenosti jader $|\vec{R}_1 - \vec{R}_2| \equiv R$; t.j. $E_\alpha(R), |\phi_\alpha(R)\rangle$.
 Pro $\neq R$ lze-li $|\phi_\alpha\rangle$ lze-li v Hl. "adiabatická báza"

- přidáne aby souřadnice jader jsou dynamickou proměnnou.

Novic o jiné možnosti dvojzdrojového malbu (takéž se obecní)

přejde v rov. třídy a vel. \vec{R} : $T_N = T_{\text{cmg}} \Rightarrow \frac{1}{2m} \Delta R$

diale varžijene jen sel. polyb.

$$\text{General formula reading } \Psi(\vec{R}, \{\vec{r}_n\}) = \sum_k \psi_k(R) \phi_{\alpha_k R}(\{\vec{r}_n\})$$

→ durch adiabatische Approximation p̄d,p̄. jen jeden ölen

(pro molekule v reakc. sklon) -- jidra vibrují a elektrony se vlnou přesunout.

$$+; \Psi(R, \{r_n\}) = \psi(r) \phi_R(\{r_n\}) \quad (\text{index } \alpha=0 \text{ (základní)} \text{ [M2]} \text{ symetrické})$$

+ dlešení do SR.:

$$H\Psi = (T_N + H_{el}) \Psi(R) \phi_R(\{r_n\}) = E \Psi(R) \phi_R(\{r_n\})$$

$$-\frac{1}{2M} \left\{ [\Delta_R \psi(r)] \cdot \phi_R + D_R \psi(r) \cdot \nabla_R \phi_R + \psi(r) \Delta_R \phi_R \right\} + E_\alpha(R) \psi \cdot \phi = E \psi \phi$$

! Členy s délkou derivací $\phi_R(\{r_n\})$ vedle R součetovávají se!

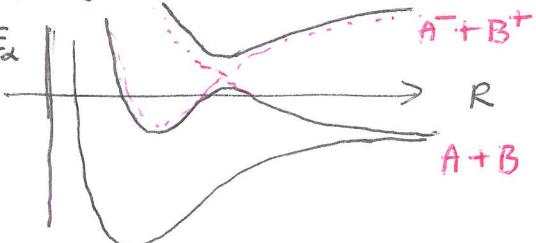
DŮVOD: $m_e \ll M$ díky tomu $\phi_R(\{r_n\})$ daleko lehčí funkce než $\psi(r)$

$$\rightarrow \phi_R \text{ bude mít smysl a } -\frac{1}{2M} \Delta \psi(r) + E_\alpha(R) \psi(r) = E \psi(r)$$

pozn: • členy nad rámcem B-O approximace bude zákonem jeho formule

• členy běz součetového pravidla vzdálost bladu $E_\alpha(R)$ je $\neq R$
větší než bylo členy (pozor na ... avoided crossing)

- rovnice pro "jaderou" (= vibraci) část vlnové funkce odpovídá jeho S.R.
jen po jednu o níž $E_\alpha(R)$ funguje jako potenciální energie .. efektivní interakce jader.



- tato rovnice je 3D (pro rām 2-atomový pohyb), ale E_α je fü \vec{R} ... sfér. sym. potenciál ... obvyklá separace úhradné čárti
- soběnění pro víceatomové molekuly je původně
- $\rightarrow E_\alpha(\{\vec{R}_i\})$ je potenciál ve více dimenzionálním prostoru vibrací

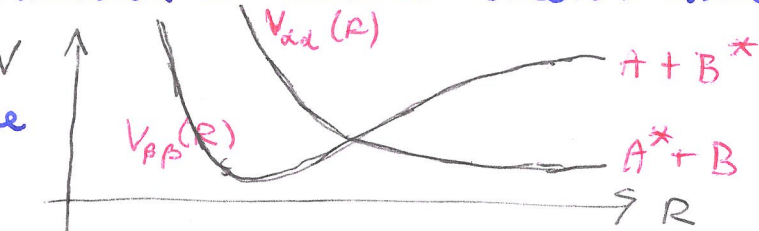
- na vzhledu $\Psi(R, \{r_n\}) = \sum_\alpha \psi_\alpha(R) \phi_\alpha$ bude vzhled víceméně a odlišliv se od předchozího H_{el} až ϕ_α vše slouží H_{el} . Nejdříve pro dva slouží:

$$-\frac{1}{2M} \begin{pmatrix} \Delta \psi_1(R) \\ \Delta \psi_2(R) \end{pmatrix} + \begin{pmatrix} E_{11}(R) & E_{12}(R) \\ E_{21}(R) & E_{22}(R) \end{pmatrix} \begin{pmatrix} \psi_1(R) \\ \psi_2(R) \end{pmatrix} = E \begin{pmatrix} \psi_1(R) \\ \psi_2(R) \end{pmatrix}$$

$$\text{kde } E_{\alpha\beta}(R) = \langle \phi_\alpha | H_{el} | \phi_\beta \rangle \quad \dots \text{"diabatická báze"}$$

- nazývá se také křivěmi bladu ... "Landau-Zenerov model"

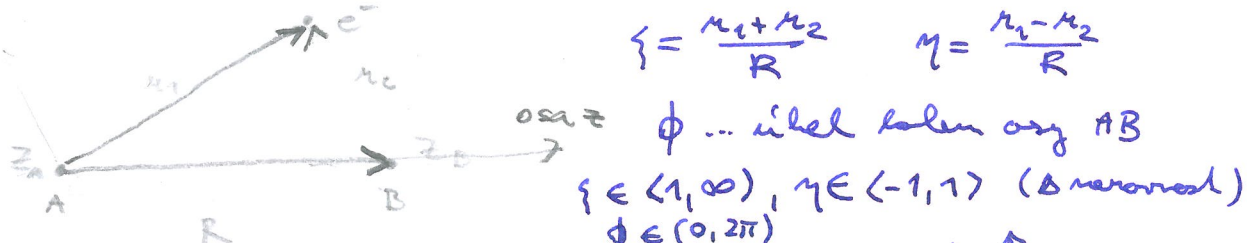
např. model pěnové difuzace nebo nábojů



2. Elektronová struktura molekul

- vibrační dynamika je ne převodov na potenciální problem ve $3N$ dim.
- mnoho různých potenciálů $H\psi_d = E_d \psi_d$
řešení elektronického problemu → má řešení geometrie (velikost jader) → reálný

2a. Analyticky řešitelný případ molekuly H_2^+



Řešení v eliptických souřadnicích (pravdělných) ↑

$$H_{ee} = \left[-\frac{1}{2} \nabla^2 - \frac{z_1}{m_1} - \frac{z_2}{m_2} \right] + \frac{z_1 z_2}{R}$$

konstanta - potřeba
přidat do finálního $E_s(R)$,
ale nebohuť řešení

$-\frac{2z_1}{\xi + \eta}$ $-\frac{2z_2}{\xi - \eta}$

$$\Delta = \frac{1}{R^2} \left\{ \frac{1}{\xi^2 - \eta^2} \frac{\partial}{\partial \xi} \left[(\xi^2 - 1) \frac{\partial \psi}{\partial \xi} \right] + \frac{1}{\xi^2 - \eta^2} \frac{\partial}{\partial \eta} \left[(1 - \eta^2) \frac{\partial \psi}{\partial \eta} \right] \right. \\ \left. - \frac{1}{\xi^2 - 1} \cdot \frac{1}{1 - \eta^2} \frac{\partial^2 \psi}{\partial \phi^2} \right\}$$

→ dosazení do SR: $\left(-\frac{1}{2} \nabla^2 - \frac{z_1}{m_1} - \frac{z_2}{m_2} \right) \psi = E \psi$

$$\hookrightarrow \frac{\partial}{\partial \xi} \left((\xi^2 - 1) \frac{\partial \psi}{\partial \xi} \right) + \frac{\partial}{\partial \eta} \left((1 - \eta^2) \frac{\partial \psi}{\partial \eta} \right) + \left[\frac{1}{\xi^2 - 1} + \frac{1}{1 - \eta^2} \right] \frac{\partial^2 \psi}{\partial \phi^2} + \\ + \left[\lambda \eta \xi - \beta \eta \eta - \eta^2 (\xi^2 - \eta^2) \right] \psi = 0$$

rot.-sym. kolm. osy

zde $\lambda = \frac{z_1 + z_2}{\Gamma - 2/E}$ $\beta = \frac{z_1 - z_2}{\Gamma - 2/E}$ $\eta = \frac{R}{\Gamma - E/2}$

→ separace proměnných $\psi(\xi, \eta, \phi) = R(\xi) P(\eta) e^{im\phi}$

$$\frac{\partial}{\partial \xi} \left((\xi^2 - 1) \frac{\partial R}{\partial \xi} \right) + \left(-\lambda + \lambda \eta \xi - \eta^2 \xi^2 - \frac{m^2}{\xi^2 - 1} \right) R(\xi) = 0$$

$$\frac{\partial}{\partial \eta} \left((1 - \eta^2) \frac{\partial P}{\partial \eta} \right) + \left(\lambda - \beta \eta \eta + \eta^2 \eta^2 - \frac{m^2}{1 - \eta^2} \right) P(\eta) = 0$$

$$\frac{\partial^2 \Phi(\phi)}{\partial \phi^2} + m^2 \Phi(\phi) = 0$$

definuje paralelé sféroidální funkce, které obecně závisí
na z_1, z_2, R, E . (řešení s 0 kraj. podm. $R(\xi=1) = P(\xi=\pm 1)$ omezeno)
ve speciálních případech $z_1 = z_2$ lze rozvázit na $\xi + \text{modr. integr. } \xi \rightarrow \infty$

Hnají se funkce atomových vodíků pro molekuly (dvojsloupcové)

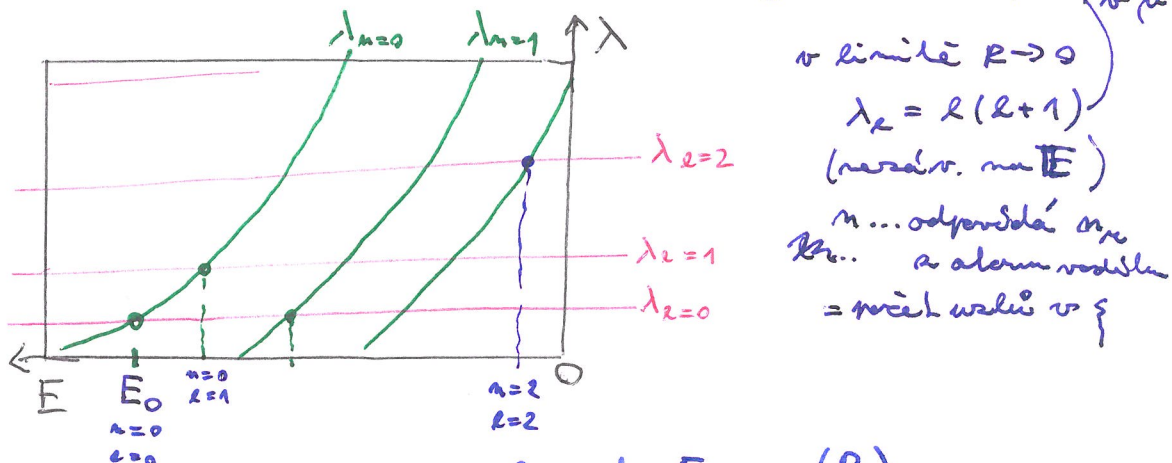
(M4)

$$m = 0, 1, 2, \dots \quad 0, \pi, 5, 4, 3, \dots$$

Po dané jsou dvojsloupce $\lambda_n^{(E)}$ a normice pro $R(\xi)$ → pravděčetný vztah mezi $\lambda_n^{(E)}$ a normice pro $P(\eta)$ $E_{nem}(R)$

jelektrická řešení $\Psi_{nem}(\vec{r})$ = elektronové orbitaly

OBRÁZEK:



→ tento vztah lze také nazvat $E_{nem}(R)$

= potenciální energie pro dynamiku v R

nejdřív → přibližné řešení s motivací: analyt. řešení, záležitě po vše ē

Metoda LCAO (= linear combination of atomic orbitals)

- používají se uprostřední funkce na He II
→ variacioní metoda

- pro jednotlivé pásy je výpočet se součinnými gaussovými -ovými centrovánými v atomech & silnou řadou termínů ... obecně $\sum Y_{lm}(\theta, \varphi) e^{-\mu_l^2}$

- ale → vzdálené body, které dává přesné řešení pro $R \rightarrow \infty$

... $\Psi_{nem}(\mu_1); \Psi_{nem}(\mu_2)$

- sám je už řada rada → ale jen lehké využití třídy, protože

- pro konkrétní posel je lepší využít řady + variacioní princip.

spec. případ (nejjednodušší přiblížení): $|\psi_1\rangle \equiv \phi_{100}(\vec{\mu}_1) = \frac{1}{\sqrt{\pi}} e^{-\mu_1^2}$
 $|\psi_2\rangle \equiv \phi_{100}(\vec{\mu}_2) = \vec{\mu}_1 - \vec{\mu}_2$

- $H = -\frac{1}{2} \Delta - \frac{1}{\mu_1} - \frac{1}{\mu_2} + \frac{1}{R}$ (v a.u. tj. $\mu \equiv r/a_0$)

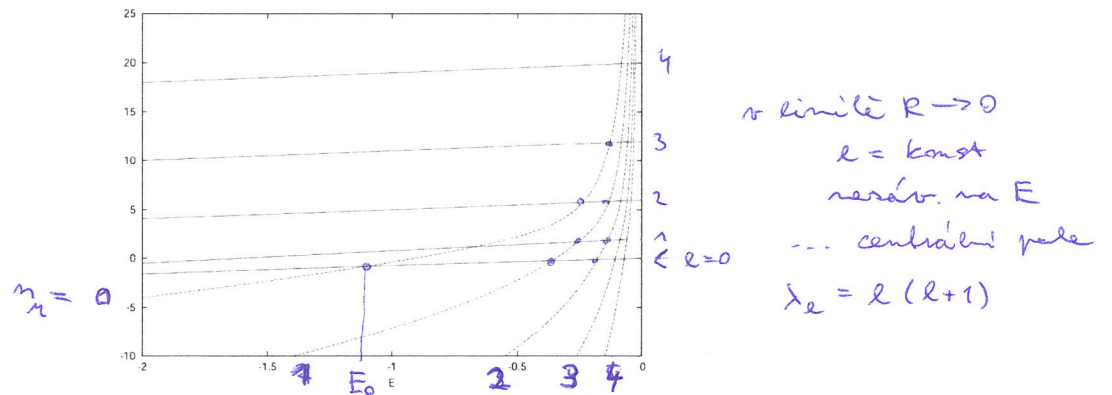
$$|\Psi\rangle = c_1 |\psi_1\rangle + c_2 |\psi_2\rangle$$

$$+ najdene c_1, c_2 minimizující \langle H \rangle = \frac{\langle \Psi | H | \Psi \rangle}{\langle \Psi | \Psi \rangle}$$

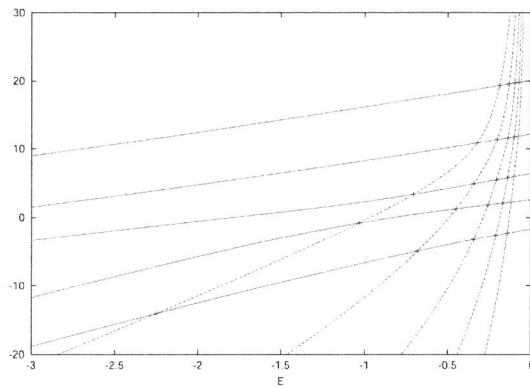
+ slož. hodnota \leftrightarrow součet. slož.

2.2 Energie vázaných stavů elektronu

Na obr.(2.1), obr.(2.2) jsou vyneseny $\mathcal{A}_{N_r}^0$, $\mathcal{B}_{N_a}^0$ jako funkce energie pro $0 \leq N_r, N_a \leq 4$. Průsečíky těchto závislostí, které hledáme metodou bisekce, odpovídají energiím E_{N_r, N_a}^0 .



Obrázek 2.1: Plnou čarou vzestupně funkce $\mathcal{B}_{N_a}^0(E)$ pro $N_a = 0, 1, \dots, 4$, čárkováně sestupně $\mathcal{A}_{N_r}^0(E)$ pro $N_r = 0, 1, \dots, 4$. Hodnoty parametrů $Z_A = Z_B = 1$, $R = 2$.



Obrázek 2.2: Stejné funkce jako obr.(2.1) pro $Z_A = 2$, $Z_B = 1$, $R = 4$.

↳ řešení problémů na všechny čísla:

$$(\mathbb{H} - E S) \vec{c} = 0, \quad \text{kde } \mathbb{H} \text{ má vlastnosti } \langle \varphi_i | H | \varphi_j \rangle = H_{ij}$$

\hookrightarrow záležitost $c = \begin{pmatrix} c_1 \\ c_2 \end{pmatrix} \Rightarrow \dots \quad S_{ij} = \langle \varphi_i | \varphi_j \rangle \text{ "právý vektor"}$

$$\Leftrightarrow \begin{vmatrix} H_{11} - ES_{11} & H_{12} - ES_{12} \\ H_{21} - ES_{21} & H_{22} - ES_{22} \end{vmatrix} = 0$$

normalizace elementů: $S_{11} = S_{22} = 1$ (normalizace $|\varphi_i\rangle$)

překryvový integrál: $S_{12} = S_{21} \equiv S = \int d\mu \int \varphi_1(\vec{r}) \varphi_2(\vec{r})$

podrobněji: v elliptických souřadnicích: $d^3r \equiv -\frac{R^3}{8} (\mu^2 - \xi^2) d\mu d\xi d\varphi$

$$S = \frac{1}{\pi} \int_1^\infty d\xi \int_{-\mu}^{\mu} d\mu \int_0^{2\pi} d\varphi \frac{R^3}{8} (\xi^2 - \mu^2) e^{-\mu R} = \frac{R^3}{2} \int_1^\infty d\mu \left(\mu^2 - \frac{1}{3} \right) e^{-\mu R}$$

$$= [1 + R + \frac{1}{3} R^2] e^{-R}$$

Roulombovský integrál C: $H_{22} = H_{11} = E_0 + \frac{1}{R} - C$ B6E

tede $E_0 = \langle \varphi_1 | -\frac{1}{2} \Delta - \frac{1}{R} | \varphi_1 \rangle = -\frac{1}{2}$ (a.u.)

$$C = \langle \varphi_1 | \frac{1}{R} | \varphi_1 \rangle \equiv \int d^3r \frac{1}{R} |\varphi_1(r)|^2 = \frac{R^3}{8} \int_1^\infty (\xi^2 - \mu^2) \frac{2}{(\xi^2 - \mu^2)R} \cdot \frac{1}{\pi} e^{-(\mu + \xi)R}$$

$$= \frac{1}{2} \frac{1}{R} [1 - (1+R) e^{-2R}]$$

Interakce: $H_{12} = H_{21} = E_0 S + \frac{S}{R} - A$

tede $E_0 S = \langle \varphi_1 | (-\frac{1}{2} \Delta - \frac{1}{R_2}) | \varphi_2 \rangle$

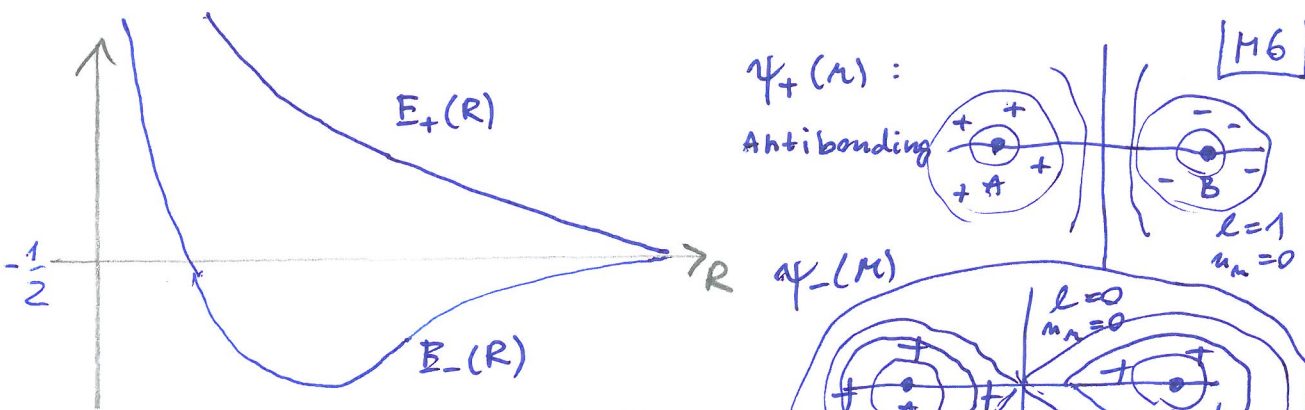
$$A = \langle \varphi_1 | \frac{1}{R_1} | \varphi_2 \rangle = \frac{1}{2} e^{-R}(1+R)$$

reaktivní čísla:
$$\begin{vmatrix} E_0 - E + \frac{1}{R} - C & S(E_0 - E + \frac{1}{R}) - A \\ S(E_0 - E + \frac{1}{R}) - A & E_0 - E + \frac{1}{R} - C \end{vmatrix} = 0$$
 tohle dělá vedení

$$\rightarrow E_+(\underline{R}) = E_0 + \frac{1}{R} + \frac{A - C}{1 - S} \quad E_-(\underline{R}) = E_0 + \frac{1}{R} - \frac{A + C}{1 + S}$$

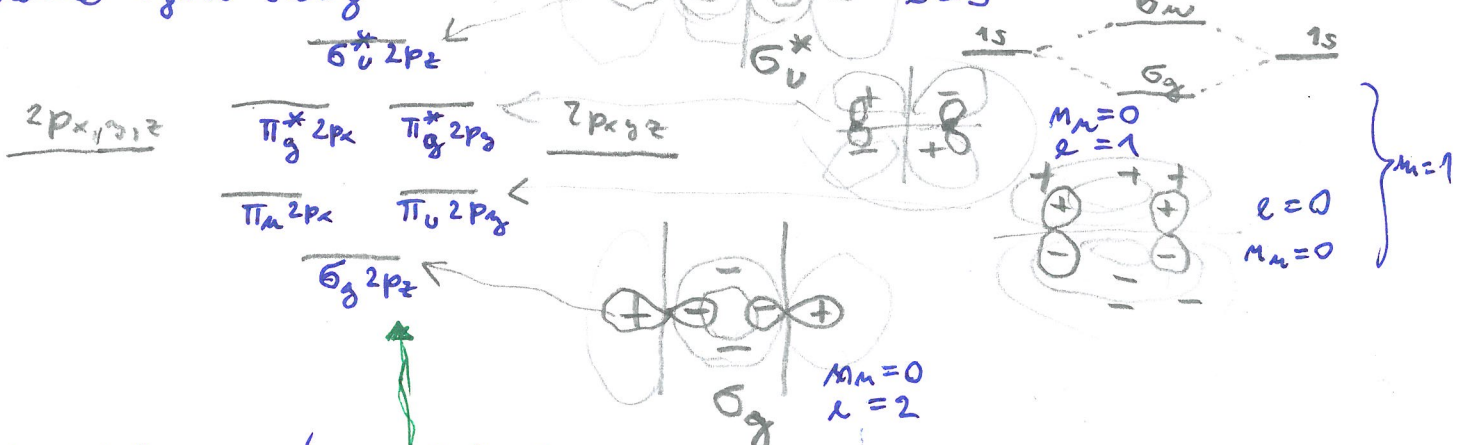
$$\text{tj. } E_\pm(R) = -\frac{1}{2} + \frac{1}{R} \pm \frac{e^{-R}(1+R) \mp \frac{1}{R} [1 - e^{-2R}(1+R)]}{1 \mp e^{-R}(1+R + R^2/3)}$$

E_- ... vodivost slav. E_+ antivodivost slav. viz. obrázek



obecný následek $|M\rangle = |1S\rangle \pm |1S\rangle$

podobné výsledky



Viceelektronové molekuly:

... opět -- HF approximace.

→ polohy ve sloučeném poli
v dobrém přiblížení osou symetrie

→ Slaterův determinant se bude s jednoelektronovými funkciemi
s předepsanou symetrií: $\sigma_u, \sigma_g, \pi_u, \pi_g$ + elektrony doplnění od nejménších.

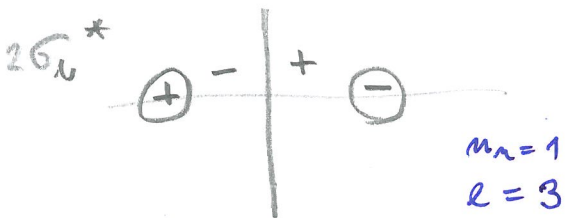
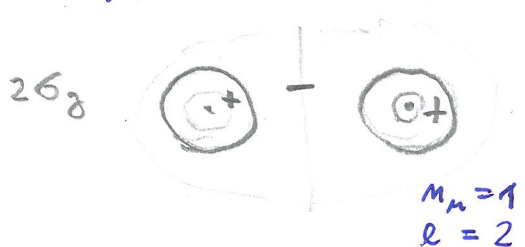
ktérej nejménší? Patnáctá řádka HF rovnice (nebo jinou
variační princip → možno nelinsární předp. o vln.-fáz.)

PR:

Druhý rádele kationy Li Be B C N O F (Ne)

systém $1s^2 (2s\ 2p)$ valenční se postupně doplní, ale nejdříve je kombinuje do Mol. Orbit.

... posiluje se symetrie (popř. podle m_l, l)



the nodal plane for the $\pi_u 2p_y$ and $\pi_g 2p_y$ orbitals. Because the $2p_x$ and $2p_y$ orbitals have identical energy and the resulting molecular orbitals differ only in their spatial orientation, the pairs of orbitals, $\pi_u 2p_x$, $\pi_u 2p_y$ and $\pi_g 2p_x$, $\pi_g 2p_y$, are degenerate. Note that unlike the bonding σ orbitals, the bonding π orbitals have ungerade symmetry and the antibonding π orbitals have gerade symmetry.

Now that we have developed a set of molecular orbitals by combining atomic $1s$, $2s$, and $2p$ orbitals, we need to know the order of these molecular orbitals with respect to energy. We can then determine the electronic configurations of molecules by placing electrons into these orbitals in accord with the Pauli Exclusion Principle and Hund's rules, just as we did for multielectron atoms in Chapter 8. The order of the various molecular orbitals depends upon the atomic number (nuclear charge) on the nuclei. As the atomic number increases from three for lithium to nine for fluorine, the energies of the $\sigma_g 2p_z$ and $\pi_u 2p_x$, $\pi_u 2p_y$ orbitals approach each other and actually interchange order in going from N_2 to O_2 , as shown in Figure 9.13. The somewhat complicated ordering shown in Figure 9.13, which is consistent with calculations and experimental spectroscopic observations, is reminiscent of the ordering of the energies of atomic orbitals as the atomic number increases. We will use Figure 9.13 to deduce electron configurations of the second-row homonuclear diatomic molecules in Section 9–9, but first we will consider H_2 through He_2 in the next section.

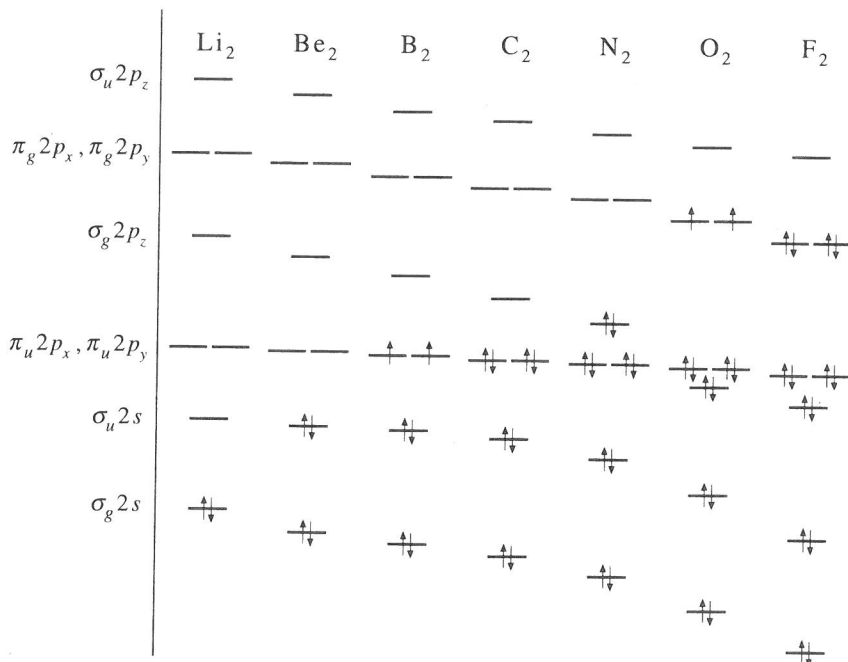


FIGURE 9.13

The relative energies (not to scale) of the molecular orbitals for the homonuclear diatomic molecules Li_2 through F_2 . The $\pi_u 2p_x$ and $\pi_u 2p_y$ orbitals are degenerate, as are the $\pi_g 2p_x$ and $\pi_g 2p_y$ orbitals.

Viceatomové molekuly - Hybridizace orbitalů

• je vhodné používat bosi orbitálů nespelejících symetrii

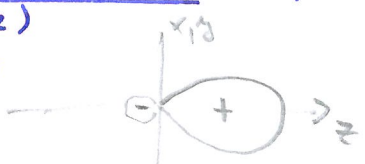
• pro $n=2$: $2s \sim \frac{1}{2}(1-\frac{n}{2})e^{-\frac{\alpha r}{2}} \cdot Y_{00} \dots Y_{00} = \frac{1}{\sqrt{4\pi}}$

$$2p \quad \frac{1}{2} \cdot \frac{1}{\sqrt{6}} n e^{-\frac{\alpha r}{2}}, \quad Y_{x,y,z} \quad Y_x = \sqrt{\frac{3}{4\pi}} \cdot \frac{x}{r}$$

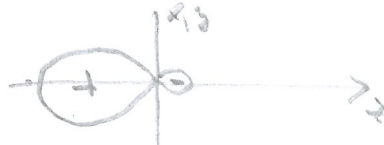
$$\text{standardní } Y_{10} = Y_z \quad Y_{1\pm 1} = \frac{1}{\sqrt{2}} [Y_x + iY_y]$$

Lineární molekula: sp hybridizace $\Psi_{\pm} = \frac{1}{\sqrt{2}} (\Psi_{2s} \pm \Psi_2 p_z)$
(napří. CO_2)

Ψ_+ :



Ψ_-



.. půjčenou na sebe píší sílu a Ti

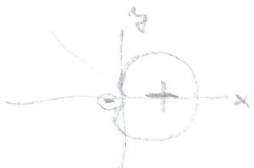
.. maximalizují výdrž ve měří $Z_+ + a Z_-$

Trojčetná osa symetrie: napří. $\begin{array}{c} H \\ | \\ H-C=C-H \end{array}$ nebo  benzene

$$\text{funkce: } \Psi_x = \frac{1}{\sqrt{3}} \Psi_{2s} + \sqrt{\frac{2}{3}} \Psi_2 p_x$$

$$\Psi_{\pm} = \frac{1}{\sqrt{3}} \Psi_{2s} - \frac{1}{\sqrt{6}} \Psi_2 p_x \pm \frac{1}{\sqrt{2}} \Psi_2 p_z$$

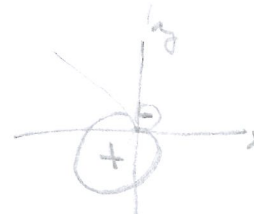
Ψ_x



Ψ_+



Ψ_-



Vlastnosti:

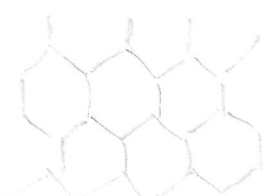
- ortohnormální a stejný obal jako $\Psi_{2s}, \Psi_2 p_x, \Psi_2 p_z$
- působení polohy je shodný na sebe: $e^{\pm \frac{i\pi}{3} L_2 \cdot \frac{2}{3}\pi} \Psi_x = \Psi_{\mp}$

Pozn.: bce působit libovol. rodiál. čáslí

.. uhlavač čáslí respektuje symetrii

Pr: METODA LCAO pro graphene:

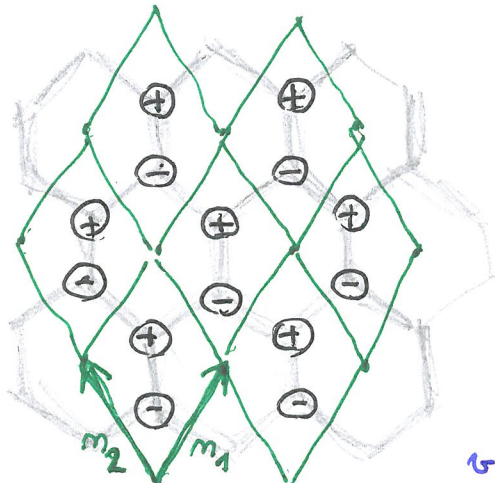
.. na tříuhelníku sedí 4 elektrony
3 jsou v ~~Psi_2p_z~~ Ψ_x, Ψ_{\pm} a tvoří houbu molekuly
poslední elektron v $\Psi_2 p_z$
.. "tert. π -elektron"



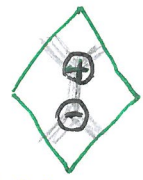
.. delokalizovaní pěs celého graphene

.. vodivostní vlastnosti bce vysoké a poněmě přesné
ponosí jehožho π elektronu na jednom uhlík ... model
černé barvy

Aktualita - model vodivosti graphenu



použití translační symetrie:
rozklad krystalu na
elementární buněky



vnější číslování nádoby ve dvojici
směrů ... (m_1, m_2)

→ každé buněce dve atomy užívá: $\alpha = \pm$

t_j → atomy užívá je identifikován páru (m_1, m_2, α)

vlastnosti $m_1, m_2 \in \mathbb{Z}; \alpha = \pm$

\mathcal{H} -operator ... lin. obal $|m_1, m_2, \alpha\rangle$ (na tři C jednu π -orbital)

$$\text{vln. funkce } |\psi\rangle = \sum_{m_1, m_2, \alpha} c_{m_1, m_2} |m_1, m_2, \alpha\rangle = \sum_{m_1, m_2} b_\alpha e^{i(\mathbf{k}_1 m_1 + \mathbf{k}_2 m_2)} |m_1, m_2, \alpha\rangle$$

zády jmen novější Blochova teorie; $\mathbf{k}_1, \mathbf{k}_2 \in [-\pi, \pi]^2$ jsou vlnové vektory v řešení

Model Hamiltoniánu respektující symetrii

$$\langle m_1, m_2, \alpha | H | m_1', m_2', \alpha' \rangle = \epsilon_0 \quad \text{když } m_1 = m_1', m_2 = m_2', \alpha = \alpha'$$

$= \beta$ když v grafu molekuly vede směra $\rightarrow (m_1, m_2, \alpha)$ do (m_1', m_2', α')

$= 0$ jinak

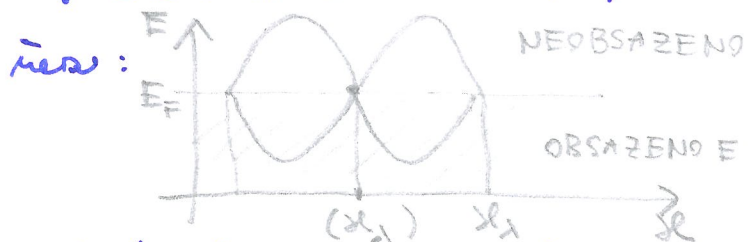
\Rightarrow dosazení vln. funkce (ψ) do Schrödingerovy rovnice $H|\psi\rangle = E|\psi\rangle$

$$+ \text{projekce na } \langle m_1, m_2, \alpha = \pm | : \quad \epsilon_0 b_+ + \beta (e^{i\mathbf{k}_1 m_1 + i\mathbf{k}_2 m_2} + 1) b_- = E b_+$$

$$\epsilon_0 b_- + \beta (e^{-i\mathbf{k}_1 m_1 - i\mathbf{k}_2 m_2} + 1) b_+ = E b_-$$

$$\rightarrow \text{rovnice pro energie} \begin{vmatrix} \epsilon_0 - E & \beta (e^{i\mathbf{k}_1 m_1 + i\mathbf{k}_2 m_2} + 1) \\ \beta (e^{-i\mathbf{k}_1 m_1 - i\mathbf{k}_2 m_2} + 1) & \epsilon_0 - E \end{vmatrix} = 0$$

$$t_j; E_\pm (\mathbf{k}_1, \mathbf{k}_2) = \epsilon_0 \pm \beta \sqrt{1 + e^{i\mathbf{k}_1 m_1 + i\mathbf{k}_2 m_2}} \quad \dots \text{viz obr na další str.}$$



↳ body ... $(\mathbf{k}_1, \mathbf{k}_2)$ pro které

$$|1 + e^{i\mathbf{k}_1 m_1 + i\mathbf{k}_2 m_2}| = 0$$

energie $E_\pm (\mathbf{k}^2)$ je lineárně závislá na $\Delta \mathbf{k} \dots \Delta \mathbf{k} = \Delta \mathbf{k}_1 + \Delta \mathbf{k}_2$

* lineární vztah $E \propto p$ mezi vektorom $E = \hbar \mathbf{v} = \hbar \mathbf{c} \mathbf{k}$

* ZDE: elektron v graphenu se chová jako částice $m_e \rightarrow m = \infty$ a $s = \frac{1}{2}$

.. Diracova rovnice s $m = \infty$ ve 2D

